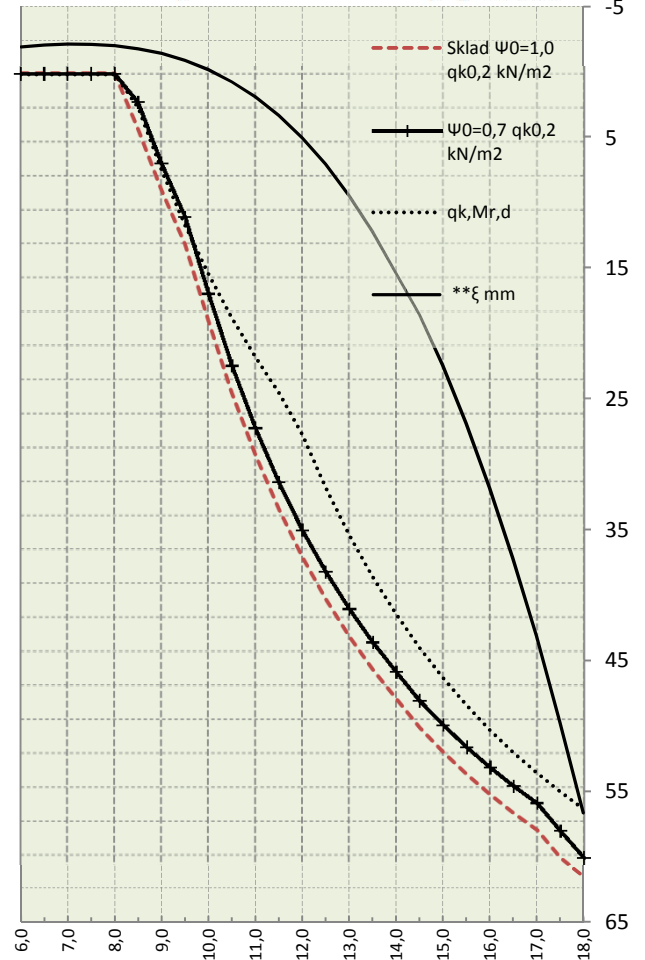


Statický výpočet PPD 439 (Lana: Dole: 16*12,5 + Nahoře: 3*9,3) Datum

L	Sklad									
m	$\psi_0=1,0$ qk0,2	$\psi_0=0,7$ qk0,2	Mr,dek	Mr,cr	Mr0,2	Mr,d	**ξ mm	*Vrdct1		
kN/m2	kN/m2	kN/m2	kNm	kNm	kNm	kNm		kN		
4,0	25,00	25,00	303,4	243,6	459,4	518,2	-1,14	190,7		
4,5	25,00	25,00	301,7	265,1	495,4	581,3	-1,30	190,5		
5,0	25,00	25,00	302,2	287,4	494,5	624,1	-1,55	190,6		
5,5	25,00	25,00	302,7	310,1	495,1	624,1	-1,75	190,7		
6,0	25,00	25,00	303,2	333,1	495,8	624,1	-1,93	190,8		
6,5	25,00	25,00	303,8	356,3	496,6	624,1	-2,06	190,9		
7,0	25,00	25,00	304,4	379,7	497,5	624,1	-2,13	191,0		
7,5	25,00	25,00	305,1	384,6	498,4	624,1	-2,12	191,1		
8,0	25,00	25,00	305,8	385,4	499,4	624,1	-2,01	191,2		
8,5	23,36	24,16	306,6	386,1	500,4	624,1	-1,79	191,4		
9,0	21,56	22,36	307,4	386,9	501,5	624,1	-1,42	191,5		
9,5	19,97	20,78	308,3	387,8	502,7	624,1	-0,90	191,6		
10,0	17,72	18,52	309,2	388,7	504,0	624,1	-0,18	191,8		
10,5	15,59	16,40	310,1	389,7	505,3	624,1	0,74	191,9		
11,0	13,76	14,56	311,1	390,7	506,6	624,1	1,89	192,0		
11,5	12,16	12,97	312,2	391,8	508,1	624,1	3,31	192,2		
12,0	10,76	11,56	313,3	392,9	509,6	624,1	5,02	192,4		
12,5	9,52	10,33	314,5	394,0	511,1	624,1	7,05	192,5		
13,0	8,43	9,23	315,7	395,2	512,7	624,1	9,43	192,7		
13,5	7,45	8,26	316,9	396,5	514,4	624,1	12,19	192,9		
14,0	6,58	7,39	318,2	397,8	516,1	624,1	15,38	193,0		
14,5	5,73	6,54	319,4	399,1	515,9	624,1	18,54	193,2		
15,0	5,01	5,82	320,7	400,5	514,5	624,1	22,45	193,4		
15,5	4,36	5,16	321,9	402,0	513,5	624,1	26,87	193,6		
16,0	3,77	4,57	323,3	403,4	514,9	624,1	31,79	193,8		
16,5	3,22	4,03	324,6	404,8	516,9	624,1	37,21	194,0		
17,0	2,72	3,52	326,0	406,2	516,9	624,1	43,17	193,9		
17,5	1,90	2,71	327,5	407,6	516,9	624,1	49,76	193,7		
18,0	1,34	1,91	328,9	409,1	516,9	624,1	56,69	193,7		



$q_d(kN/m^2) = \gamma_G \cdot (g_0 + 1,5) + \psi_0 \cdot \gamma_Q \cdot q_{k0,2}$
 $q_d(kN/m^2) = \gamma_G \cdot \xi \cdot (g_0 + 1,5) + \gamma_Q \cdot q_{k0,2}$
 $\gamma_G (1,35)$. . . návrhový koeficient
 $\xi (0,85)$ redukční součinitel
 $g_0 (kN/m^2)$. . vlastní tíha
 $\gamma_Q (1,50)$. . . návrhový koeficient
 $1,5 (kN/m^2)$. . g1 tíha úprav
 $q_k (kN/m^2)$. . charakteristické zatížení
 $\psi_0 (1,0)$ sklady
 $\psi_0 (0,7)$ ostatní

ECO ČSN EN 1990 rovnice 6.10a 6.10b
 EC2 ČSN EN 1992 -1-1 (CZ) ČSN EN 1168+A3
 $M_{r,dek} (kNm/1,2m)$. . moment na mezi dekomprese
 $XC2/XC3$
 $M_{r,cr} (kNm/1,2m)$. . moment na mezi vzniku trhlin
 $M_{r0,2} (kNm/1,2m)$. . moment na mezi šířky trhlin
 $M_{r,d} (kNm/1,2m)$. . moment na mezi únosnosti
 $**\xi (mm)$ průhyb
 $*V_{rdct1} (kNm/1,2m)$. smyková únosnost pro oblast bez trhlin

Rozměry
 výška/šířka/skladebně/uložení
 400/1190/1200 /150 mm

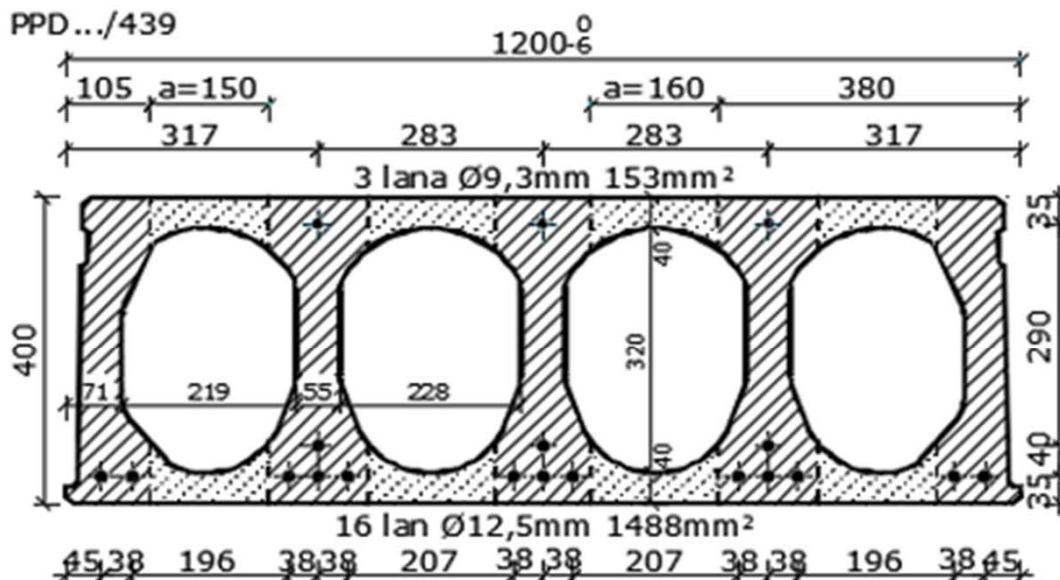
Krytí lan
 dolní řada/střední/horní
 29/69/30 mm

Hmotnosti
 manipulační/se záhlvkou/záhlvka
 577/609/32 kg/mb

Beton
 C45/55 XC1
 45 MPa
Ocel
 fpk/ fpk0,1%
 1770/1520 MPa

Teplotní odpor
 0,29 m2K/W
REI Požární odolnost
 60 minut

Vzduchová neprůzvučnost
 56 db
Vážená, normalizovaná hladina
na kročejového zvuku
 79 db



* Pro oblast s trhlami se doporučuje redukovat smyk. únosnost na 80%

** Skutečné hodnoty se mohou lišit od zde odhadnutých hodnot, skutečný průhyb závisí od historie zatížení apod. (EC2 čl.

7.4.1) Obvykle s průhybem spirálů nebývají žádné problémy.

Ing. Siegel Ing. Lukáč Ing. Vranečka

St. vyp. spirallů

Strana: 1